日本産科婦人科学会雑誌 ACTA OBST GYNAEC JPN Vol. 34, No. 6, pp. 667-676, 1982 (昭57, 6月)

黄体退縮周辺期における偽妊娠ウサギ子宮・卵巣による Prostaglandins (PGs) の産生と PGF_{2α}の 作用機構に関する研究

東京大学医学部産科婦人科学教室(主任:坂元正一教授)河 合 康 夫

In vitro Production of Prostaglandins by the Uterine and Ovarian Tissues of Pseudopregnant Rabbits in Luteolysis and Mechanism of Luteolysis Induced by $PGF_{2\alpha}$

Yasuo KAWAI

Department of Obstetrics and Gynecology, Faculty of Medicine, University of Tokyo, Tokyo (Director: Prof. Shoichi Sakamoto)

概要 内因性 prostaglandin (PG) $F_{2\alpha}$ が黄体機能調節に関与していることが既報されているが、他の PGs の関与及びその作用機構については明らかではない。

- 1. 黄体退縮周辺での偽妊娠ウサギ子宮及び卵巣による PGs の産生とその部位について検討した.
- a. 子宮組織による PGs の産生

PGF の産生は黄体末期に子宮内膜で著明に高い(p<0.001)。6 keto PGF1 α の産生は黄体中期・末期に子宮筋で高い(p<0.01)。PGF の産生は有意な変化はみられなかつた。

b. 卵巣組織による PGs の産生

PGF の産生は卵巣では低く黄体退縮期でも低値のままであり、子宮内膜、子宮筋の PGF 産生量との間に有意の差 (p<0.001) が認められた。6 keto-PGF1 α の産生は、偽妊娠17日目まで黄体に比べ、黄体以外の卵巣組織(間質)での産生が有意に高かつた(p<0.02)。

2. PGF_{2α} の作用機構について検討した.

偽妊娠ウサギ16日目の黄体に high affinity: $Kd=1.1\times10^{-8}M$, B_{max} : 286.3 f mol/mg protein と low affinity; $Kd=1.0\times10^{-7}$ M, B_{max} : 1258.3 f mol/mg protein の 2 つの population を有する $PGF_{2\alpha}$ receptor が存在することが明らかとなつた.

以上の実験結果から、偽妊娠ウサギの黄体退縮機構は、黄体退縮時子宮内膜より $PGF_{2\alpha}$ が急激かつ著明に産生され、それが黄体細胞の $PGF_{2\alpha}$ receptor に作用して黄体退縮をおこすという一連の機構によることが明らかになつた。

Synopsis Six hours' incubation with the uterine and ovarian tissues of pseudopregnant rabbits was carried out to compare their abilities to produce prostaglandins (PGs) at the various stages of pseudopregnancy. In the endometrial tissue, significant increase in PGF production was observed near luteolysis (p<0.001). 6-Keto PGF_{1 α} production by the myometrium was also shown to increase on mid and late phase (p<0.01). PGE production increased slightly, but no significant difference was found. The corpus luteum and the remaining ovarian tissue were shown to have the low activity of PGF production at any stages of pseudopregnancy. 6-Keto PGF_{1 α} production by the remaining ovarian tissue was significantly higher than by the corpus luteum (p<0.02). The results strongly suggest that the endometrium is the main site of PGF_{2 α} production causing luteolysis in the pseudopregnant rabbit.

In order to investigate the mechanism of luteolysis induced by $PGF_{2\alpha}$, the $PGF_{2\alpha}$ receptor in the corpus luteum of the pseudopregnant rabbit was characterized. $PGF_{2\alpha}$ binding to the corpus luteum was demonstrated to be specific. Scatchard analysis of $PGF_{2\alpha}$ specific binding in the 16th day corpus luteum revealed the existence of two population of receptors.

668

Key words: Pseudopregnant rabbit • Prostaglandin $F_{2\alpha}$ • 6-Keto $PGF_{1\alpha}$ • Prostaglandin E • Prostaglandin $F_{2\alpha}$ receptor

緒言

女性において性周期が形成される基本的機構は、卵巣の周期的変化であり、特に黄体機能の存続する期間が動物種によつてそれぞれ一定であることが重要な因子とされている。黄体の機能は生殖現象の根本に直接関与しているからその機能調節因子の解明は極めて重要である。これまで黄体刺激因子と、退縮因子が考えられ近年 prostaglandin (PG) $F_{2\alpha}$ が黄体退縮作用をもつとして注目されながら、その作用機構には不明な部分も少なくない。黄体退縮時子宮での $PGF_{2\alpha}$ の産生増加について既報されているが 25 , 他の PGs 産生についての報告は殆どない。

本研究では、黄体退縮周辺での偽妊娠ウサギ子宮及び卵巣による PGs の産生とその部位、及び PGF 2α の作用機構について解明することを目的として以下の実験を行つた。

実験材料と方法

1. 実験動物

3-4ヵ月齢、体重約3kgの日本白色雌ウサギを実験に用いた。個別に cage で飼育し、水分と飼料を自由に摂取させた。

2. 試薬及び抗体

human chorionic gonadotropin (hCG) (持田 製 薬), estradiol- 17β (日本 シェーリング), TC199(大五栄養化学), Millipore filter(pore size 0.2μ m, Millipore Corporation, U.S.A.). 有機溶媒, 化学試薬は市販の特級のものを使用した.

標識 PGs は以下のものを使用した。

PGF_{2 α}, [5, 6, 8, 9, 11, 12, 14, 15- 3 H(N)]-: specific activity 150Ci/m mol, lot number 932—238 (New England Nuclear)

PGE₁, [5, 6-3H (N)] -: specific activity 89.5 Ci/m mol, lot number 932—229 (New England Nuclear)

6-keto $PGF_{1\alpha}$, [5, 8, 9, 11, 12, 14, 15-3H (N)] -: specific activity 100.0Ci/m mol, lot number 1118—181 (New England Nuclear)

PGE₁, PGF_{2α} の抗体は、木下らが作製したもの

を用いた 12 . しかし PGE_1 の抗体は PGE_2 に対して, $PGF_{2\alpha}$ の抗体は $PGF_{1\alpha}$ に対して交叉反応を示した.

6-keto PGF1α の抗体は、以下のように作製した。小野薬品より提供された 1 ml saline に溶解した6-keto PGF1α-bovine serum albumin conjugate を 1 ml の Freund complete adjuvant とemulsify させ、成熟ウサギに抗原 1 mg を 2 週間毎に8回皮下注し、booster 注射 2 週間後に血清を採取した。6-keto PGF1α の抗血清の交叉反応は、PGE1: 24.2%、13、14-dihydro 6-keto PGF1α: 2.3%、PGE2: 1.6%、PGF2α: 0.3%、13、14-dihydro-15-keto PGF1α, PGA2、PGB2とは0.04%以下であつた1)。

3. 実験方法

a. 偽妊娠ウサギ子宮及び卵巣による産生能を 検討するために、子宮内膜と子宮筋、黄体とそれ 以外の卵巣組織の incubation 実験を行つた.

雌ウサギ55羽にごま油0.2ml に溶解した estradiol- 17β 50 μ g を皮下注し,3 日後に 1 ml 生理食塩水に溶解した hCG 100i.u.を静注し,排卵を起こさせ,偽妊娠ウサギを作成した。hCG 投与日を偽妊娠 0 日とした。偽妊娠ウサギ黄体の life span を末梢血 progesterone 値によつて調べると,17日間であつた 25)。

偽妊娠ウサギの偽妊娠5, 12, 13, 14, 15, 16, 17, 18, 19, 20, 22日目に5羽ずつ開腹し、子宮、卵巣を摘出した.摘出した子宮を medium で洗い、血液を除去した.はさみで子宮内膜と子宮筋を分離し、子宮内膜と子宮筋は1×1×1 mm の大きさに細切し、細切片をそれぞれ80mg ずつ triplicate にて、滅菌試験管に入れ、3ml の medium を添加し、37℃、95% O_2 +5% CO_2 下で30分間 preincubation を行い、medium を取り替えた後6時間 incubation を行つた.黄体とそれ以外の卵巣組織は、 $1\times1\times1$ mm に細切し、それぞれ50mg ずつ triplicate にて、2 ml の medium を添加し、子宮組織と同じように incubation を行つた.incubation に用いた medium は、

TC199 20ml HEPES (Sigma) 0.4766g

7% NaHCO₃ 0.1ml/aqua 200ml で1N NaOH により pH を7.3に調製し、Millipore filter で滅菌して用いた。incubation 終了後各 medium を3,000r.p.m.,10分間遠心し、上清を−20℃に凍結保存し、PGF_{2α}、6-keto PGF_{1α}、PGE₁の測定に供した。

 $b. PGF_{2\alpha}$ の黄体での作用機構を知るために、 偽妊娠ウサギ黄体に $PGF_{2\alpha}$ の receptor が存在するかどうかを調べた.

偽妊娠16日目のウサギ 5 羽を開腹し、黄体を採取し、4℃,0.01M Tris-HCl buffer (0.15M NaCl,10⁻⁴M indomethacin 添加、pH 7.5)で洗浄し、10倍量の Tris-HCl buffer 中で細切した。次いで Potter-Elvehjem homogenizer で homogenize し、600×g 10分間遠心し、上清をさらに100,000×g、60分間遠心し、沈査を取り出し、この沈査に30倍(ml/g corpora lutea)の Tris-HCl buffer を加え Potter-Elvehjem homogenizer で resuspend したものを、binding assay に用いた。PGF2α 結合部位の特性は、Scatchard 分析²⁶⁾によって検討した。

4. 測定方法

a. PGE, PGF の測定: 既報の Kinoshita et al. ¹²⁾の方法によった. PGE₁の抗体は PGE₂に対して, PGF_{2α}の抗体は PGF_{1α}に対して交叉反応を示すので測定結果は PGE, PGF として表現した. 感度は PGE: 10pg, PGF: 100pg であった.

b. 6-keto PGF1 α の測定¹⁾:培養液 400μ l を 10μ l 0.1N HCl で酸性化(pH 3.0)した後,2ml 酢酸エチルによる抽出を2回行い,1ml H $_2$ O で2回洗い,蒸発乾固し,TLC(silica gel,Mallinckrodt 100 Mesh) で分離精製した。TLC の solvent system は EtOAc:HOAc:isooctane:H $_2$ O(110:20:30:100)の organic phase を 用 い た。Rf値はPGF 2α :0.49, PGE $_1$:0.60, 6-keto PGF $_1\alpha$:0.29であつた。0.1ml assay buffer (0.05M Trisbuffer (pH 7.5) に0.1% gelatin を含む)に溶かした sample 及び標準6-keto PGF $_1\alpha$ ($10pg\sim10$ ng) に、0.1ml 3 H-6-keto PGF $_1\alpha$ (7,0000dpm),

c. $PGF_{2\alpha}$ receptoassay: 黄体の $100,000 \times g$ resuspended particulate fraction $500\mu l$ を試験管 $(13 \times 95 \text{mm})$ に移し, $[5, 6, 8, 9, 11, 12, 14, 15^3 \text{H} (\text{N})]$ $PGF_{2\alpha}$ $0.05\mu\text{Ci}/333\,\text{f}$ moles/ $10\mu l$ EtOH を加え,さらに $PGF_{2\alpha}$ 0,0.01, 0.02, 0.04, 0.1, 0.2, 0.4, 1.0, 2.0, 4.0, 10, 40 ng, $4\mu g/10\mu l$ EtOH ずつをそれぞれの試験管に加え,また $PGF_{2\alpha}$ 結合の特異性の検討のために $PGF_{2\alpha}$ の代わりに $PGF_{1\alpha}$, PGE_1 , PGA_1 , PGB_1 を添加した。 23° C,24時間 incubate し,incubation 後,試験管を氷水中におき,Millipore filter で free とbound を分離した.

Millipore filter による分離方法²⁴⁾は、以下のように行つた。incubation を行つた各々の試験管に Tris-HCl buffer を1.0ml 加え、これを Millipore filter で沪過し、さらに試験管を0.5ml buffer で 2 回洗浄し沪過した。各々の filter をさらに5.0ml の buffer で洗浄した。各々の filter を10.0ml Instagel (Packard Instrument Co. Inc.) を入れ scintillation vial に移し、Aloka LSC 653 automatic three channel liquid scintillation spectrometer により count した。

d. 組織蛋白量は、組織80mg を 4 ℃ 1ml の生理食塩水中で homogenize し、Lowry 法¹⁴⁾で測定した。

測定結果の推計学的処理は、Student's t test により行つた。

実験結果

1. 偽妊娠ウサギ子宮及び卵巣による PGs 産 生能

偽妊娠ウサギ子宮及び卵巣の偽妊娠各時期における PGs の産生とその部位を検討するために、子宮内膜と子宮筋及び黄体とその残りの組織の incubation 実験を行つた。

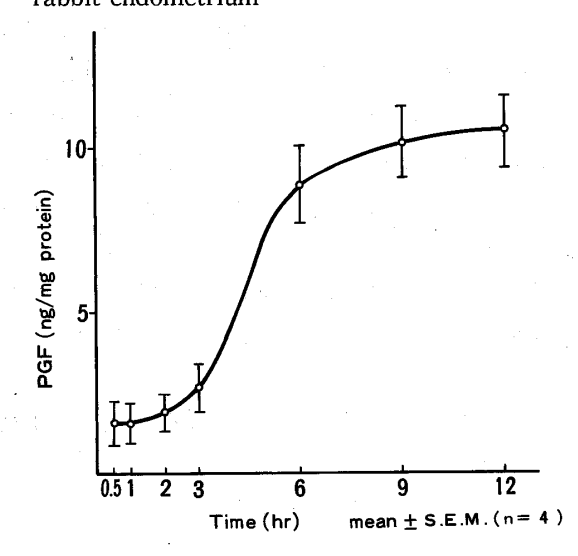
偽妊娠19日目の子宮内膜でのPGFの産生のtime course を調べると図1のようになり、6時間でPGFの産生がplateauとなつた。従つて30分間 preincubation後、6時間 incubationを行い、PGsの産生能を比較した。

各組織による PGs の 6 時間 incubation 時の産生量を ng/mg protein/6hrs で表わし,表 1,2 に示す。各組織の蛋白含有量 (mean \pm S.D.) は,子宮内 膜 41.62 ± 4.91 mg/g wet tissue,子宮筋 52.52 ± 2.19 mg/g wet tissue であり,黄体 54.02 ± 4.35 mg/g wet tissue, 黄体以外の卵巣組織 56.13 ± 6.54 mg/g wet tissue であつた。子宮内膜が他の組織と比べ蛋白含有量が低かつた(p<0.001)。

PG 生合成酵素は蛋白質であり、各組織の PG 産生能を比較するためには、蛋白量当りの産生量を用いた方が合理的と思われるので、本研究では PG 産生量は単位蛋白量あたりについて検討した。

a.子宮組織による PGs の産生(表 1)

☑ 1 Time course of PGF accumulation in the medium during incubation of pseudopregnant rabbit endometrium



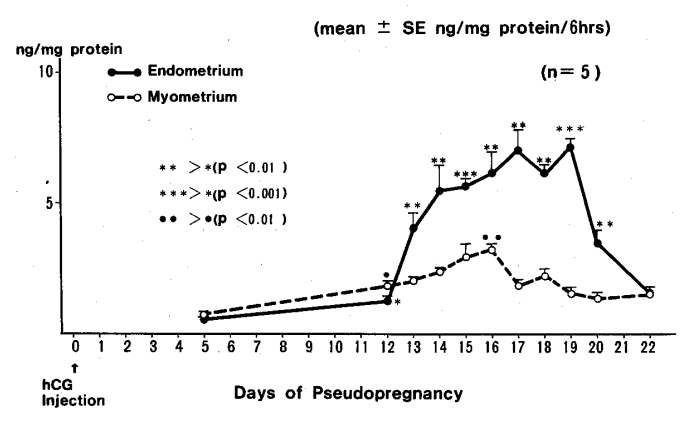
 ${\rm \,\pm\,}1$. In vitro PG production by the uterine tissues of pseudopregnant rabbits (mean±SE ng/mg protein/6 hrs) (n=5)

	PG I Issue	Endometrium	FGF Myometrium	6-keto Endometrium	PGF1a Myometrium	Endometrium	PGE Myometrium
	2		ium 0.72±0.08	rium 1.78±0.88			
	12	0.54 ± 0.05 1.28 ± 0.17	1.88 ± 0.18	2.05±0.68	2.91 ± 1.31 16.54 ± 1.43	0.38 ± 0.11 1.29 ± 0.21	0.51 ± 0.28 1.65 ± 0.41
	13	4.08 ± 0.56	2.07 ± 0.05	3.33 ± 0.47	18.48±2.81	2.66±0.60	2.41 ± 0.46
	14	5.42 ± 0.95	2.39 ± 0.14	7.64 ± 0.65	$14.60\!\pm\!1.70$	2.40 ± 0.52	3.36 ± 0.29
Days c	15		$2.07 \pm 0.05 2.39 \pm 0.14 2.96 \pm 0.42 3.22 \pm 0.21 1.92 \pm 0.15 2.24 \pm 0.23 1.55 \pm 0.11 1.38 \pm 0.25 2.24 \pm 0.23 1.55 \pm 0.11 1.38 \pm 0.25 1.25 \pm 0.11 $	$3.33 \pm 0.47 7.64 \pm 0.65 5.72 \pm 0.44 8.31 \pm 0.93 5.64 \pm 0.23 6.64 \pm 1.12 4.85 \pm 0.82 5.05 \pm 1.04 0.98 \pm 0.36 = 0.03 \pm 0.03 = $	$18.48 \pm 2.81 14.60 \pm 1.70 17.02 \pm 1.93 19.25 \pm 2.76 14.61 \pm 2.11 16.95 \pm 3.12 17.33 \pm 3.65 16.47 \pm 3.12 11.26 \pm 2.14 18.48 \pm 2.81 14.60 \pm 1.73 \pm 3.65 16.47 \pm 3.12 11.26 \pm 2.14 18.48 \pm 2.81 18.48 \pm 2.81$	2.66 ± 0.60 2.40 ± 0.52 2.53 ± 0.49 2.15 ± 0.51	$2.41 \pm 0.46 3.36 \pm 0.29 2.72 \pm 0.27 2.70 \pm 0.89 2.66 \pm 0.62 3.79 \pm 0.70 3.89 \pm 0.92 3.09 \pm 0.88 1.12 \pm 0.48$
Days of pseudopregnancy	16	6.12 ± 0.84	3.22 ± 0.21	8.31 ± 0.93	19.25 ± 2.76	2.15 ± 0.51	2.70 ± 0.89
nancy	17	5.67 ± 0.24 6.12 ± 0.84 7.01 ± 0.73 6.15 ± 0.34	1.92 ± 0.15	5.64 ± 0.23	14.61 ± 2.11	2.81 ± 0.54	2.66 ± 0.62
	18	6.15 ± 0.34	2.24 ± 0.23	6.64±1.12	16.95 ± 3.12	2.54 ± 0.26	3.79 ± 0.70
	19	7.19 ± 0.29	1.55 ± 0.11	4.85 ± 0.82	17.33 ± 3.65	2.92 ± 0.66	3.89 ± 0.92
	20	7.19 \pm 0.29 3.50 \pm 0.44 1.68 \pm 0.17	1.38 ± 0.25	5.05 ± 1.04	16.47 ± 3.12	2.54 ± 0.26 2.92 ± 0.66 1.42 ± 0.54 0.35 ± 0.21	3.09 ± 0.88
	22	1.68 ± 0.17	1.56 ± 0.24	0.98 ± 0.36	11.26 ± 2.14	0.35 ± 0.21	1.12 ± 0.48
		2	4	9	4		,

 ${\not\equiv} 2$ In vitro PG production by the ovarian tissues of pseudopregnant rabbits (mean±SE ng/mg protein/6 hrs) (n=5)

0	Ë					Days	Days of pseudopregnancy	nancy				-
5	i issue	വ	12	13	14	15	91	17	18	19	20	22
PGF	Corpus Luteum 0.43±0.02 0.16±0.01 The Remaining 0.53±0.09 0.36±0.08	0.43 ± 0.02 0.53 ± 0.09	_	$\begin{array}{cccccccccccccccccccccccccccccccccccc$	0.14 ± 0.01 0.64 ± 0.15	0.41 ± 0.09 1.10 ± 0.21	0.33 ± 0.01 0.47 ± 0.14	0.31 ± 0.01 0.73 ± 0.16	$\begin{array}{cccccccccccccccccccccccccccccccccccc$	0.77 ± 0.05 1.11 ± 0.14	0.67 ± 0.20 0.80 ± 0.12	1.74±0.38 0.78±0.06
6-keto PGF ₁₄	6-keto Corpus Luteum 1.14±0.27 1.24±0.38 PGF ₁ a The Remaining 4.48±0.68 4.17±0.72	1.14±0.27 4.48±0.68	1.24±0.38 4.17±0.72	$ \begin{array}{c ccccccccccccccccccccccccccccccccccc$	0.96±0.17 6.65±0.71	1.54 ± 0.09 5.17 ± 0.64	1.25 ± 0.51 5.10 ± 0.23	1.64 ± 0.18 5.84 ± 0.46	2.62 ± 0.05 4.86 ± 0.84	1.64 ± 0.51 5.63 ± 1.13	2.41 ± 0.44 4.97 ± 0.84	1.93 ± 0.46 2.31 ± 0.56
PGE		0.17 ± 0.09 0.22 ± 0.06	0.23 ± 0.06 0.86 ± 0.10	0.89 ± 0.21 1.43 ± 0.20	0.91 ± 0.32 1.74 ± 0.32	0.62±0.18 1.68±0.21	0.53 ± 0.08 1.80 ± 0.26	0.42 ± 0.17 2.12 ± 0.43	0.39 ± 0.08 1.60 ± 0.34	0.41 ± 0.05 0.93 ± 0.17	0.55 ± 0.08 1.15 ± 0.02	0.32 ± 0.06 0.59 ± 0.08

☑ 2 In vitro PGF production by the uterine tissues of pseudopregnant rabbits



PGFの産生(mean±S.E. ng/mg protein/6 hrs)は偽妊娠5, 12, 13, 14, 15, 16, 17, 18, 19, 20, 22日の子宮内膜(各偽妊娠日について n=5)でそれぞれ 0.54 ± 0.05 , 1.28 ± 0.17 , 4.08 ± 0.56 , 5.42 ± 0.95 , 5.67 ± 0.24 , 6.12 ± 0.84 , 7.01 ± 0.73 , 6.15 ± 0.34 , 7.19 ± 0.29 , 3.50 ± 0.44 , 1.68 ± 0.17 であつた。偽妊娠12日以前の値と比べ,13日目に 有意な増加(p<0.01)がおこり,19日目には最高となり(p<0.01)のは、20日目まで増加が認められた (p<0.01)(図 2)。

子宮筋(各偽妊娠日についてn=5)では、偽妊娠5,12,13,14,15,16,17,18,19,20,22日でそれぞれ、 0.72 ± 0.08 , 1.88 ± 0.18 , 2.07 ± 0.05 , 2.39 ± 0.14 , 2.96 ± 0.42 , 3.22 ± 0.21 , 1.92 ± 0.15 , 2.24 ± 0.23 , 1.55 ± 0.11 , 1.38 ± 0.25 , 1.56 ± 0.24 であつた。偽妊娠5,12日目に比べ16日目にやや増加したにすぎない(p<0.01)。偽妊娠19日目の子宮内膜と子宮筋とのPGFの産生量を比較すると、子宮内膜の方が4.6倍産生が高い(p<0.001)。

PGF の産生は黄体末期に子宮内膜で著明に高まることがわかる。

6-keto PGF1 α の産生(mean±S.E. ng/mg protein/6hrs)は、子宮内膜(各偽妊娠日について n=5)で偽妊娠5、12、13、14、15、16、17、18、19、20、22日でそれぞれ、1.78±0.88、2.05±0.68、3.33±0.47、7.64±0.65、5.72±0.44、8.31±0.93、5.64±0.23、6.64±1.12、4.85±0.82、5.05±1.04、0.98±0.36であつた。偽妊娠12日以前の値と比べ、14日より20日まで有意な増加(p<0.01)を示し

た.

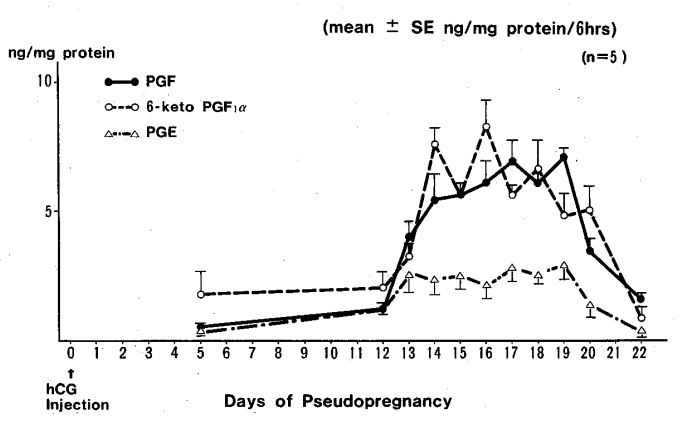
子宮筋(各偽妊娠日についてn=5)では,偽妊娠5, 12, 13, 14, 15, 16, 17, 18, 19, 20, 22日でそれぞれ, 2.91 ± 1.31 , 16.54 ± 1.43 , 18.48 ± 2.81 , 14.60 ± 1.70 , 17.02 ± 1.93 , 19.25 ± 2.76 , 14.61 ± 2.11 , 16.95 ± 3.12 , 17.33 ± 3.65 , 16.47 ± 3.12 , 11.26 ± 2.14 であつた。偽妊娠5日の値と比べ,12日より20日まで著増した(p<0.001)。偽妊娠16日目の6-keto $PGF1\alpha$ の産生を子宮内膜と子宮筋とで比較すると,子宮筋の方が2.3倍高い (p<0.01)。

6-keto $PGF_{1\alpha}$ は,黄体中期・末期に子宮筋で多く産生されることが判る.

PGE の産生(mean±S.E. ng/mg protein/6 hrs)は、子宮内膜(n=5ずつ)偽妊娠5、12、13、14、15、16、17、18、19、20、22日でそれぞれ0.38±0.11、1.29±0.21、2.66±0.60、2.40±0.52、2.53±0.49、2.15±0.51、2.81±0.54、2.54±0.26、2.92±0.66、1.42±0.54、0.35±0.21、子宮筋で(n=5ずつ)で0.51±0.28、1.65±0.41、2.41±0.46、3.36±0.29、2.72±0.27、2.70±0.89、2.66±0.62、3.79±0.70、3.89±0.92、3.09±0.88、1.12±0.48で、黄体末期にやや上昇したものの、偽妊娠12日目の値と比べ有意な変化はみられなかつた。

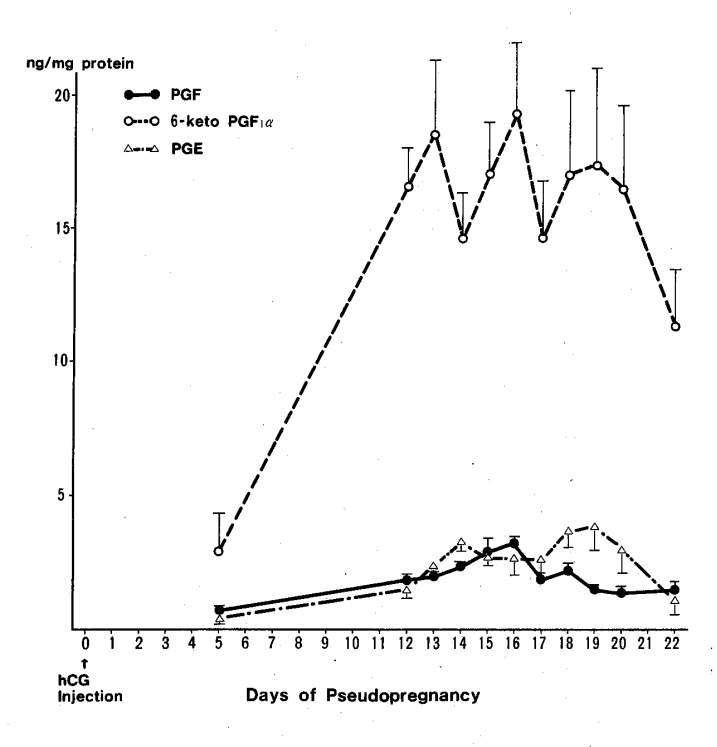
子宮での PGs の産生を比較すると, 偽妊娠16日目の子宮内膜では PGF 及び6-keto PGF1 α の産生が PGE に比べ有意に高く(p<0.01, p<0.001) (図 3), 子宮筋では6-keto PGF1 α の産生が PGF, PGE に比べ有意に高い(p<0.01, p<0.001)の

☑ 3 In vitro PG production by the endometrium of pseudopregnant rabbits



☑ 4 In vitro PG production by the myometrium of pseudopregnant rabbits

(mean ± SE ng/mg protein/6hrs)

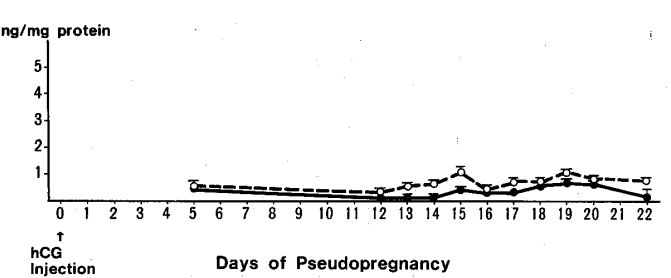


☑ 5 In vitro PGF production by the ovarian tissues of pseudopregnant rabbits

(mean \pm SE ng/mg protein/6hrs) (n= 5)

Corpus Luteum

O--O The Remaining tissue



が特徴的である (図4).

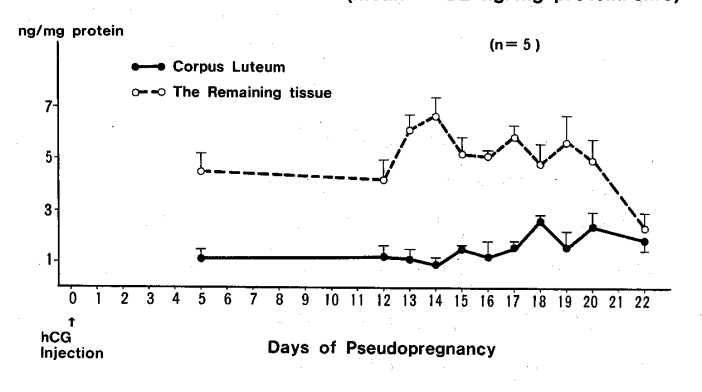
b. 卵巣組織による PGs の産生 (表 2)

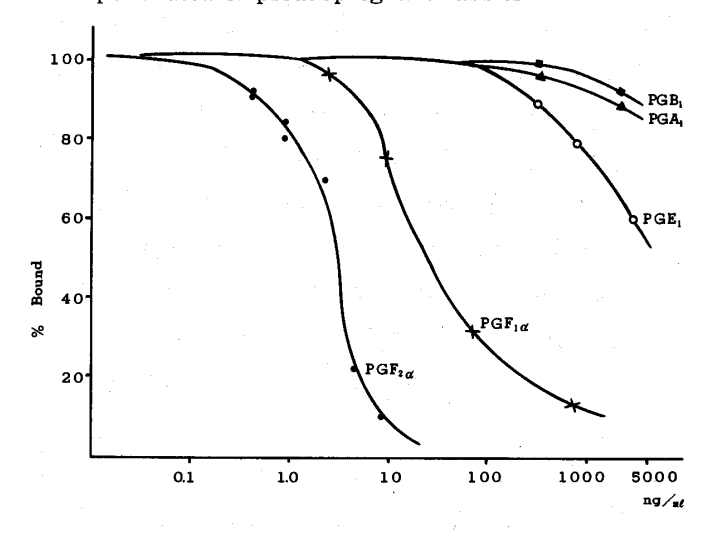
偽妊娠5日目での卵巣におけるPGFの産生量は、子宮組織と同じように低い、13日目以後になると子宮とくに子宮内膜でのPGFの産生が著増するのとは異なつて、卵巣での産生は依然低値のままであり、子宮内膜と卵巣での産生量の間に有意の差が認められるようになる(p<0.001)(図5)、

6-keto PGF_{1α} の産生は、偽妊娠17日目まで黄体

 \boxtimes 6 In vitro 6-keto PGF_{1 α} production by the ovarian tissues of pseudopregnant rabbits

(mean ± SE ng/mg protein/6hrs)





に比べて、黄体以外の卵巣組織(間質)での産生が有意に多く、約3-6倍であつた。しかし子宮内膜と比べると、その産生能は1/3にすぎない(図6)。

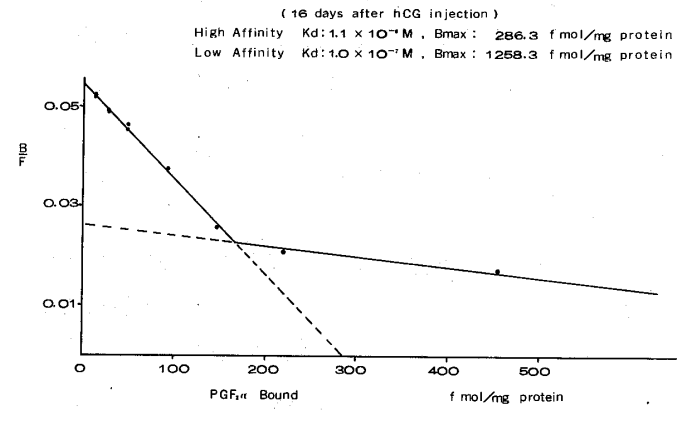
PGE の産生は、卵巣でも低値であつた。 黄体期の卵巣での PGs の産生は、PGF、PGE ともに低く 6-keto PGF1a が最も多いことが特徴である.

2. 偽妊娠ウサギ黄体の PGF_{2α} receptor

偽妊娠16日目のウサギ黄体における $PGF_{2\alpha}$ の特異的結合の存在を調べるために各種 PGs の $PGF_{2\alpha}$ の結合に対する50%結合阻害能を receptoassay で検討すると $PGF_{2\alpha}$: 2.5ng, $PGF_{1\alpha}$: 88ng, PGE_1 : $4\mu g$, PGA_1 , PGB_1 $\gg 5\mu g$ であり 3 H- $PGF_{2\alpha}$ の binding が $PGF_{2\alpha}$ によつて特異的に阻害された(図 7).

これは黄体に PGF_{2α} の receptor の存在を示唆

 \boxtimes 8 Scatchard analysis with PGF₂ α specific binding to the corpora lutea of pseudopregnant rabbits



するものである.

次に $PGF_{2\alpha}$ receptor の性質を知るため Scatchard 分析を行うと、high affinity: $Kd=1.1\times 10^{-8}M$, $B_{max}=286.3$ f mole/mg protein と low affinity: $Kd=1.0\times 10^{-7}M$, $B_{max}:1258.3$ f mol/mg protein の 2 つの population を有する receptor が存在することがわかつた(図 8).

考案

子宮内膜,子宮筋,黄体,間質組織による PGs 産生を検討するため,incubation を行い,incubation medium 中の PGs 量を測定した.

組織で産生された PG は、組織内に蓄積されず、直ちに遊離されること 18 から、incubation medium 中に遊離した PG の量が、組織の産生能を表わすと考えてよい。また PG は、組織の機械的刺激や傷害により速やかに産生、遊離される $^{8)13)18)$ ため、incubation のための組織処理の影響を除くため、preincubation を施行後、incubation を行った。

子宮内膜の PGF の産生能は偽妊娠13日目より 有意に上昇し19日目に最高となつた。子宮筋での PGF の産生も増加したが、内膜の方が有意に産生 量が多かつた。

以上のことより黄体末期に PGF が子宮内膜より主に産生されて黄体退縮をおこすことが明らかとなった。

Poyser²³⁾は、モルモットの子宮を homogenize し、incubation 実験を行つた結果、発情周期末期

に、子宮の PGF の産生能が増加することを報告した。Fenwick et al.⁷は、偽妊娠成熟ラット子宮を homogenize し、incubation 実験を行つたところ、PGF と Dの産生は PGE よりも多く、PGF と Dの産生と Eの産生の比率は黄体退縮に近づくにつれて上昇したという。このようにモルモット、ラットでも PGF が黄体末期に上昇することが報告されている。

卵巣で黄体退縮期に PGF の産生は見られなかった。このことは、排卵期には、卵胞で PGE、F、prostacyclin が産生されて、排卵現象に関与している¹⁾にもかかわらず、黄体退縮には卵巣自身が PGF を産生して関与するのではないということを示している.

実験過程に於て, 6-keto PGF1α が子宮筋におい て黄体中期及び末期に著明に産生されること及び 黄体以外の組織(間質)にも産生が見られること が明らかとなつたが、これは甚だ興味深い知見と 考えられる. 近年 prostaglandin の一種である prostacyclin が血管内皮細胞で産生されることが 発見され、その血小板凝集阻止作用及び血管拡張 作用が血液凝固機構の面から注目されてい る⁴⁾¹⁶⁾. prostacyclin は不安定な物質であり、中性 の緩衝液中で37℃で半減期10分で分解し, 6-keto PGF_{1α} に変換する⁹. それ故本研究では, 6-keto PGF_{1α} を測定し、その変化を prostacyclin の産生 変化と見なすことにした。 prostacyclin は血管内 皮細胞以外の器官組織すなわち卵胞り、子宮 筋²)¹フ)27)でも多量に産生されると報告されている。 偽妊娠子宮筋での PGs の産生は、6-keto PGF1a が一番多かつたが、この事実はラット23)27)の報告 と一致する。黄体以外の組織(間質)で6-keto PGF1αの産生が多かつたことは、間質で産生され た prostacyclin が黄体の血流を調節している可 能性があり興味深い. 偽妊娠子宮筋の prostacyclin 産生の意義は不明であるが、prostacyclin が 卵胞の顆粒膜細胞の cyclic AMP 産生を増加させ ること,血管拡張作用を持つこと,さらに最近ウ シ黄体の in vitro, in vivo 実験¹⁵⁾によつて luteotropic 作用が報告されたことから考えると、偽妊 娠子宮筋より産生された prostacyclin が、黄体機 能調節に種々の意味で関与する可能性は十分にあると言えよう。ウサギにおいては、子宮内膜でPGF及び prostacyclin が、子宮筋で prostacyclin が産生され、部位によつて産生の違いがみられたが、これはラット $^{5)6}$ 、ヒト $^{2)}$ での報告と一致する。しかし偽妊娠時期による産生量の変化について調べた報告は本研究が初めてである。

PGE は,黄体末期に子宮内膜,子宮筋でともに軽度に産生が増加したが,有意の変化ではなかった.PGE は黄体刺激作用をもつと言われ,事実PGE2は in vitro で LH と同様ウシ黄体での progesterone 合成を促進し,また cyclic AMP 産生を増加する.さらに PG 合成酵素阻害剤を加えLH を作用させたときでも,cyclic AMP が上昇するから,PGE と LH はそれぞれ独立に adenylate cyclase に働くらしい 29)。PGE の子宮での産生能は,PGF2 α ,6-keto PGF1 α に比べて少ないので,生理的に黄体機能調節に果たす役割は,PGF2 α ,6-keto PGF1 α と比べると小さいと思われる.

本研究から、黄体末期子宮内膜でPGF及び6keto PGF1αが、子宮筋で6-keto PGF1αが著増 し、それらが殊に PGF2α が子宮性退行因子とな つて黄体に働いて黄体退縮が起こることが明らか になつた. しかし, このように黄体に PGF2α が働 くには、黄体細胞に PGF2α receptor が存在すれ ば,作用機構の説明は一層明確になる. そこで, PGF_{2α} receptor の存在について検討したところ, 偽妊娠16日目の黄体に high と low affinity の 2 つの population を持つ receptor が存在すること が明らかになり、著者の仮説の理論付けが可能に なつた。これまでウシ¹⁰⁾²¹⁾, ヒツジ¹⁹⁾, ヒト²⁰⁾, ラッ ト²⁸⁾の黄体で PGF_{2α} receptor の存在が証明され ている。kimball et al.10)はウシ黄体に PGF2α receptor を見出し Kd=2.1×10-8M でその特異 的結合は主として 9α -OH 基が重要で、5,6-cis 二 重結合がそれに次ぐと報告した. Powell et al.21) はウシ黄体の細胞分画では PGF2α receptor は Kd=2.8×10-8M で,23℃では安定だが,37℃では 急速に不活化され、最適の pH は6.3で、その特異 的結合は LH や FSH では阻害されなかつたと報 告している。ヒッジ黄体細胞の PGF2α receptor

Vane, J.R.: Arterial walls generate from prostaglandin endoperoxides a substance (prostaglandin X) which relaxes strips of mesenteric

and coeliac arteries and inhibits platelet aggregation. Prostaglandins, 12: 897, 1976.

Campos, G.A., Liggins, G.C. and Seamark, R.
 F.: Differential production of PGF and 6-keto-PGF₁α by the rat endometrium and myometrium in response oxytocin, catecholamines and calcium ionophore. Prostaglandins, 20: 297, 1980.

- Dowing, I. and Williams, K.I.: Differential prostaglandin production by microsomal fractions of rat pregnant uterus. Br. J. Pharmacol., 61: 158, 1977.
- 7. Fenwick, L., Jones, R.L., Naylor, B., Poyster, N. L. and Wilson, N.H.: Production of prostaglandins by the pseudopregnant rat uterus, in vitro, and the effect of tamoxifen with the identification of 6-keto prostaglandin $F_{1\alpha}$ as a major product. Br. J. Pharmacol., 59:191, 1977.
- 8. *Gréen, K.*: Determination of prostaglandins in body fluids and tissues. Acta Obstet. Gynecol. Scand. Suppl., 87: 759, 1979.
- 9. Johnson, R.A., Morton, D.R., Kinner, J.H., Gorman, R.R., McGuire, J.C., Sum, F.F., Whitiaker, N., Bunting, S., Salmon, J., Moncada, S. and Vane, J.R.: The chemical structure of prostaglandin X (Prostacyclin). Prostaglandins, 12: 915, 1976.
- 10. Kimball, F.A. and Lauderdale, J.W.: Prostaglandin E_1 and $F_{2\alpha}$ specific binding in bovine corpora lutea: Comparison with luteolytic effects. Prostaglandins, 10:313,1975.
- 11. Kindahl, H., Granström, E., Edqvist, L.E. and Eneroth, P.: Prostaglandin levels in peripheral plasma during the reproductive cycle. Advances in Prostaglandin and Thromboxane Research, Vol. 2, ed. B. Samuelsson and R. Paoletti, 667, Raven Press, New York, 1976.
- 12. Kinoshita, K., Satoh, K. and Sakamoto, S.: Prostaglandin $F_{2\alpha}$ and E_1 in plasma and amniotic fluid during human pregnancy and labour. Endocrinol. Jpn., 24: 155, 1977.
- Liggins, G.C., Campoo, G.A. and Roberts, C.
 H.: Production rates of prostaglandin F, 6-keto PGF_{1α} and thromboxane B₂ by perifused human endmetrium. Prostaglandins, 19: 461, 1980.
- 14. Lowry, O.H., Rosebrough, N.J., Farr, A.C. and Rondall, R.J.: Protein measurement with the Folin phenol reagent. J. Biol. Chem., 193: 265,

も Powell et al.により報告されており、Kd= 1.0×10^{-7} M であるといわれている 19). ヒト黄体細胞の PGF2 α receptor は、Powell et al.によると 20)、月経周期20日頃の黄体では、Kd= 5.5×10^{-8} M、 5.0×10^{-7} M の high と low の 2 種類の結合部位が存在していることが示されている。また妊娠8週の黄体では、Kd= 1.2×10^{-7} M である。ラット黄体にも 28)、Kd= 4.7×10^{-9} M、 4×10^{-7} M の 2 種類の結合部位が存在することが報告されている。

河 合

これまでウサギ黄体の $PGF_{2\alpha}$ receptor の存在についての報告はない。本研究によつて、ウサギもまたウシ、ヒッジ等の動物と同じような Kd 値を有し、ヒト、ラットのように high と low の 2 種類の結合部位が存在することを明らかにすることが出来た。

PGF2 α receptor の局在については,Powell et al.によれば 22),ウシ黄体細胞では,細胞膜の標識酵素である5-nucleotidase の存在する分面,即ち細胞膜に存在することが,明らかにされている.さらに Wright et al. 28 は ferritin-PGF2 α conjugate を用いて,電顕的に PGF2 α receptor が細胞膜に存在することを証明している.

以上,本研究から偽妊娠ウサギの黄体退縮機構は,黄体退縮時子宮内膜より $PGF_{2\alpha}$ が急激かつ著明に産生され,それが黄体細胞の $PGF_{2\alpha}$ receptor に作用して,黄体退縮をおこすという一連の機構によることが明らかになつた.

稿を終るにあたり、御懇切なる御指導と御校閲を賜わつた恩師坂元正一教授に深甚なる感謝の意を表するとともに直接御指導いただいた佐藤和雄助教授に心から感謝いたします。本論文の一部は、第54回日本内分泌学会総会で発表した。

文 献

- 1. 河合康夫, 佐藤和雄, 三橋直樹, 榊原賢一郎, 呉 道明, 木下勝之, 坂元正一: Prostaglandin と排 卵. 日内分泌誌, 56: 1559, 1980.
- 2. *Abel, M.H. and Kelly, R.W.*: Differential production of prostaglandins within the human uterus. Prostaglandins, 18: 821, 1979.
- Anderson, L.L., Bland, K.P. and Melampy, R. M.: Comparative aspects of uterine-luteal relationships. Recent. Prog. Horm. Res., 25: 57, 1969.
- 4. Bunting, A., Grylewski, R., Moncada, S. and

1951.

- 15. Milvae, R.A. and Hansel, W.: The effects of prostacyclin (PGI₂) and 6-keto PGF_{1α} on bovine plasma progesterone and LH concentrations. Prostaglandins, 20: 641, 1980.
- 16. Moncada, S., Gryglewski, R., Bunting, S. and Vane, J.R.: An enzyme isolated from arteries transforms prostaglandin endoperoxides to an unstable substance that inhibits platelet aggregation. Nature, 263: 663, 1976.
- 17. Omini, C., Folco, G.C., Pasargiklian, R. and Berti, F.: Prostacyclin (PGI₂) in pregnant human uterus. Prostaglandins, 17: 113, 1979.
- 18. Piper, P.J. and Vane, J.R.: The release of prostaglandins from lung and other tissues. Ann. N.Y. Acad. Sci., 180: 363, 1971.
- 19. Powell, W.S., Hammarström, S. and Samuelsson, B.: Prostaglandin $F_{2\alpha}$ receptor in ovine corpora lutea. Eur. J. Biochem., 41: 103, 1974.
- 20. Powell, W.S., Hammarström, S. and Samuelsson, B.: Prostaglandin $F_{2\alpha}$ receptor in human corpora lutea. Lancet, 1: 1120, 1974.
- 21. Powell, W.S., Hammarström, S. and Samuelsson, B.: Occurrence and properties of a prostaglandin $F_{2\alpha}$ receptor in bovine corpora lutea. Eur. J. Biochem., 56: 73, 1975.
- 22. Powell, W.S., Hammarström, S. and Samuelsson, B.: Localization of a prostaglandin $F_{2\alpha}$ receptor in bovine corpus luteum plasma memblane. Eur. J. Biochem., 61: 605, 1976.

- 23. *Poyser, N.L.*: Production of prostaglandins by the guinea pig uterus. J. Endocrinol., 54: 147, 1972.
- 24. *Rao C.V.*: Characterization of prostaglandin receptors in the bovine corpus luteum cell membranes. J. Biol. Chem., 249: 7203, 1974.
- Satoh, K., Kawai, Y., Mitsuhashi, N., Kinoshita, K. and Sakamoto, S.: Prostaglandin F_{2α} metabolites in plasma and urine during pseudopregnancy in the rabbit. Am. J. Obstet. Gynecol., 138: 748, 1980.
- 26. *Scatchard, G.*: The attractions of proteins for small molecules and ions. Ann. N.Y. Acad. Sci., 15: 660, 1949.
- 27. Williams, K.I., Dembinska-Kiec, A., Zmuda, A. and Gryglewski, R.J.: Prostacyclin formation by myometrial and decidual fractions of the pregnant rat uterus. Prostaglandins, 15: 343, 1978.
- 28. Wright, K., Luborsky-Moore, J.L. and Behrman, H.R.: Specific binding of prostaglandin F_{2α} to membranes of rat corpora lutea. Mol. Cell. Endocrinol., 13: 25, 1979.
- 29. Zor, U., Bauminger, S., Lamprecht, S.A., Koch, Y., Chobsieng, P. and Lindner, H.R.: Stimulation of cyclic AMP production in the rat ovary by luteinizing hormone: Independence of prostaglandin mediation. Prostaglandins, 4: 499, 1973.

(No. 5020 昭57·1·12受付)